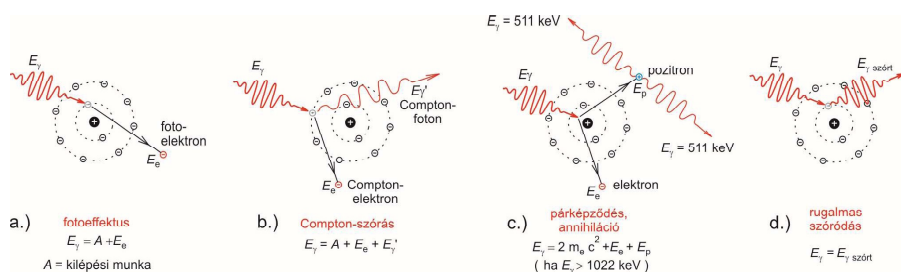
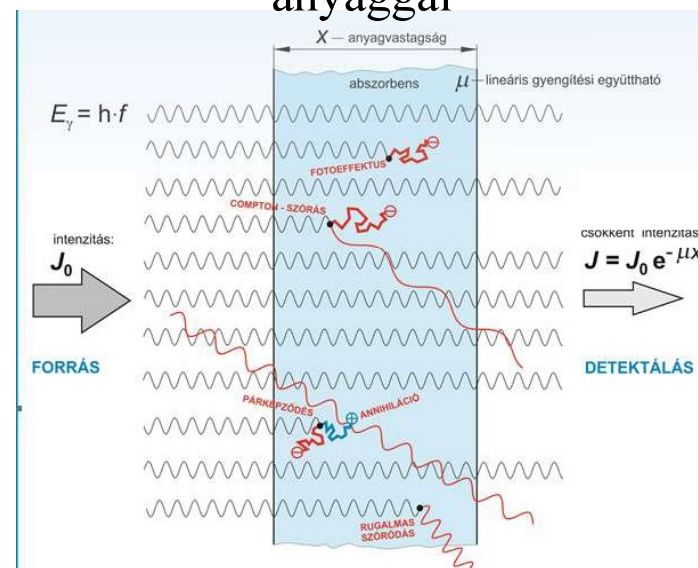


Röntgen-cső, emissziós spektrumok, gamma- abszorpció

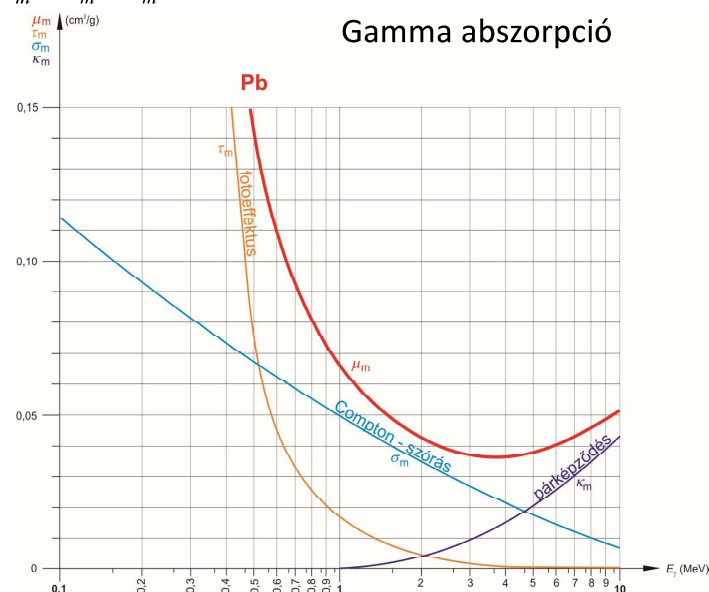
2017

Röntgen/gamma sugárzás kölcsönhatása anyaggal



$$\mu_m = \tau_m + \sigma_m + \kappa_m$$

Gamma abszorpció



Felező rétegvastagság

$$\frac{J}{J_0} = 0,5 = e^{-\mu \cdot D}$$

$$D = \frac{\ln 2}{\mu} \cong \frac{0,693}{\mu}$$

Tizedelő rétegvastagság

$$\frac{J}{J_0} = 0,1 = e^{-\mu \cdot x_{1/10}}$$

$$x_{1/10} \cong 3,33 D$$

$$\mu_m = \frac{\mu}{\rho} \quad \text{Tömeggyengítési együttható}$$

$$x_m = x \cdot \rho \quad \text{Felületi sűrűség}$$

$$J = J_0 e^{-\mu_m \cdot x_m}$$

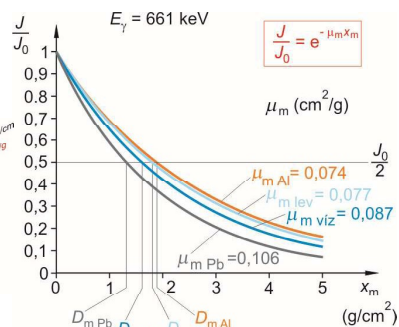
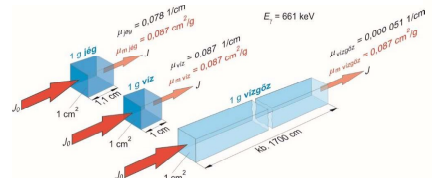
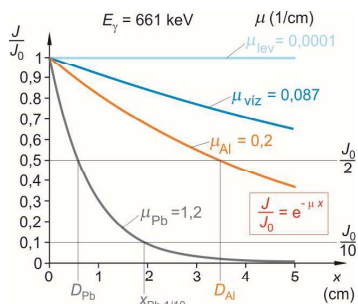
$$D_m = \frac{0,693}{\mu_m} \quad \text{Felező tömeg}$$

$$\mu_m = \tau_m + \sigma_m + \kappa_m$$

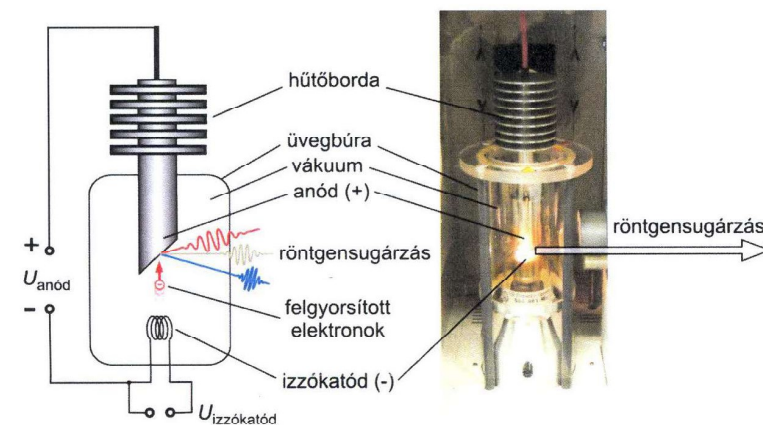
Gamma abszorpció

A gyengítési együttható függ a sűrűségtől, míg a tömeggyengítési együttható nem!

μ vs. μ_m

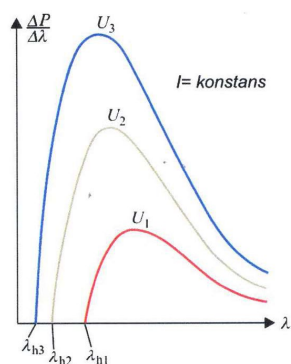


Röntgen cső felépítése és működése



Anód anyaga: W, Mo – magas olvadáspont

Fékezési röntgensugárzás



- Folytonos spektrum
- Határhullámhosszal rendelkezik

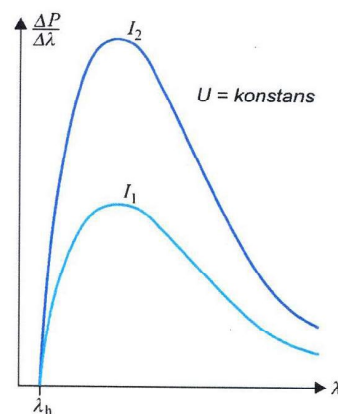
$$eU = hf_h = h \frac{c}{\lambda_h}$$

$$\lambda_h = \frac{h}{m_e v}$$

Duane-Hunt törvény

Nő az $U_{\text{anód}}$ → Kisebb határhullámhossz, keményedik a sugárzás

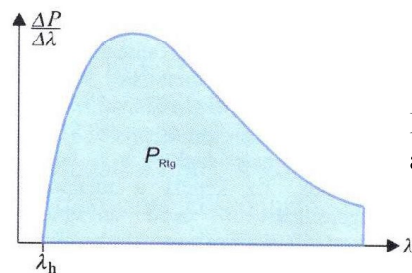
Fékezési röntgensugárzás



A sugárzás nem tolódik el, de nő az intenzitás

$$P_{\text{Rtg}} = c_{\text{Rtg}} U^2 I Z$$

ahol U a katód és az anód közé kapcsolt gyorsítófeszültség, I az anóráram áramerőssége, Z az anód anyagának rendszáma és c_{Rtg} egy arányossági tényező, melynek értéke $1,1 \cdot 10^{-9} \text{ V}^{-1}$.



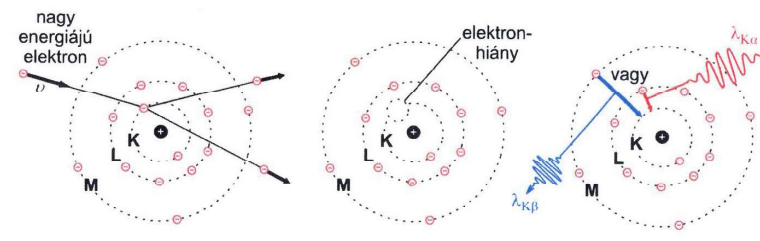
$$P_{\text{be}} = U I$$

Elektromos energia - röntgenenergia –
átalakítás hatásfoka:

$$\eta = P_{\text{Rtg}} / P_{\text{be}} = c_{\text{Rtg}} U Z$$

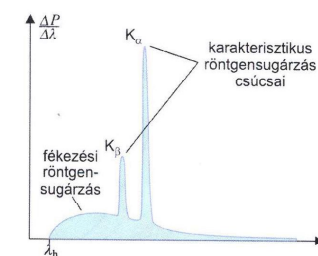
Nagyobb U és nagyobb Z \longrightarrow nagyobb hatásfok

Karakterisztikus röntgensugárzás



Spektruma vonalas

A fékezési RTG sugárzáshoz adódik.
Megjelenik kellően nagy $U_{\text{anód}}$ és
 $I_{\text{anód}}$ mellett.



A röntgensugárzás diagnosztikus alkalmazásának alapjai

$$\mu = \mu_m \cdot \rho$$

A szövetek μ gyengítési együtthatói különböznek egymástól

$$\mu_m = \tau_m + \sigma_m$$

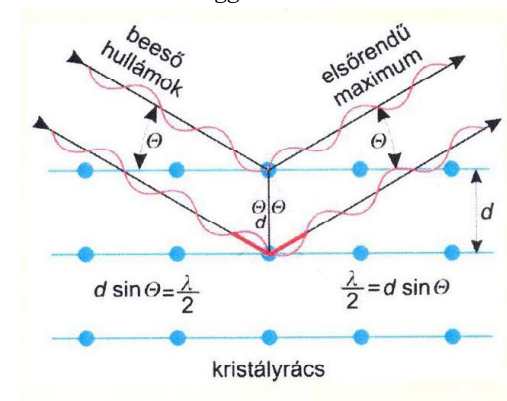
Míg a Compton-szórás tömeggyengítési együtthatója (σ_m) gyakorlatilag nem függ a rendszámtól, a fotoeffektus tömeggyengítési együtthatója (τ_m) annál erősebben, a rendszám köbével arányos:

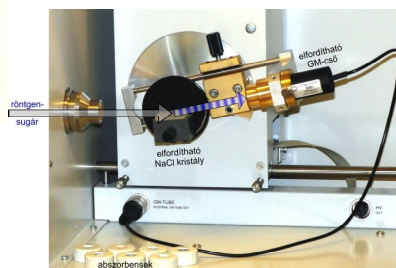
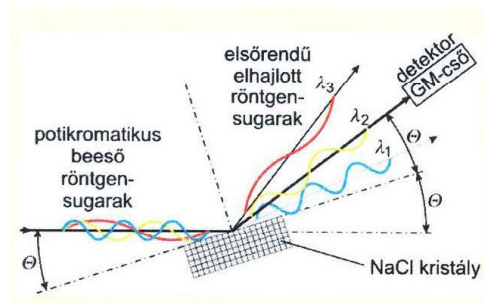
$$\tau_m = C \lambda^3 Z^3$$

vagyis a fotoeffektus tömeggyengítési együtthatója a sugárzás hullámhosszának és az abszorbens rendszámának harmadik hatványával arányos (C egy arányossági együttható).

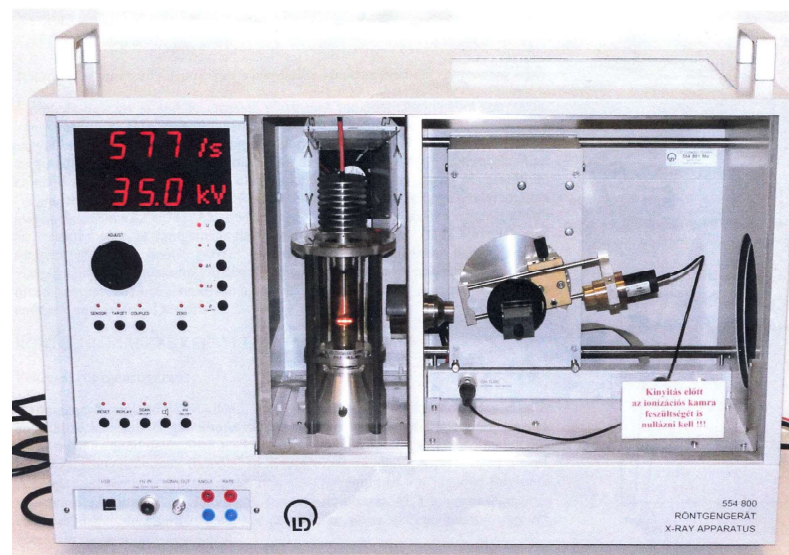
A rtg sugárzás hullámhosszainak szétválasztása, teljesítményének és spektrumának mérése

Bragg-diffrakció

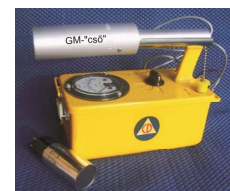




Bragg-diffrakciós rács : NaCl kristály (ω sebesség)
 A röntgensugárzás teljesítményének mérése: GM – cső (2ω sebesség)



Geiger Müller számláló



ionizációs kamrája hengerszimmetrikus felépítésű, melynek katódja (–) maga a henger fala, míg anódja (+) a henger tengelyében elhelyezkedő vékony fémzárl.

nemesgáz töltésű

A kamra geometriája, és az elektródokra kapcsolt nagyfeszültség a sugárzás hatására létrejött elektronokat oly mértékben gyorsítja fel, hogy azok **lavinászerű ionizációt** indítanak el a gáztöltésben. Egyetlen felszabadított elektron akár 10^8 lavinaelektront is előidézhet (gáz-erősítés), amely áramimpulzus már külön erősítő nélkül is mérhető.

bármely sugárzásfajta egyetlen elnyelt részecskéje, ill. fotonja **azonos nagyságú áramimpulzust kelt**, ezért a GM-cső által mutatott érték az **ionizáló részecskék számával lesz arányos**.

abszorbens	Z	lg Z	ρ (g/cm ³)	x (cm)	J_0 (rel. egys)	J (rel. egys)	μ (1/cm)	μ_m (cm ² /g)	τ_m (cm ² /g)	lg τ_m
–						–				
Al	13		2,70	0,05	„					
Fe	26		7,86	0,05	„					
Cu	29		8,92	0,007	„					
Zr	40		6,49	0,005	„					
Zr	40		6,49	0,01	„					
Mo	42		10,28	0,01	„					
Ag	47		10,50	0,005	„					

$$\mu = \frac{1}{x} \ln \left(\frac{J_0}{J} \right) \quad \mu_m = \frac{\mu}{\rho} \quad \tau_m = \mu_m - 0,2 \frac{\text{cm}^2}{\text{g}}$$

1. Ábra: A τ_m értékek logaritmusának ábrázolása a rendszám logaritmusának függvényében. A mérési adatokra egyenes illesztése. Az egyenes meredekségének meghatározása.
2. Ábra: Az x rétegvastagság függvényében (a Zr lemezek esetében) ábrázolni az intenzitás változását. A D felező rétegvastagság kiszámolása a kapott grafikon alapján.

